

# Campo scalare in 2D

Monica Cesario

29 marzo 2025

## 1 Introduzione

Si è effettuato uno studio numerico tramite tecniche Montecarlo della termodinamica di un campo scalare in due dimensioni.

## 2 Cenni teorici

L'azione di un campo scalare reale di massa  $m$  è  $S = \int dt L$  con

$$L = \int dx \mathcal{L} = \int dx \left( \frac{1}{2} \partial_\mu \phi \partial^\mu \phi - \frac{1}{2} m^2 \phi^2 \right) \quad (1)$$

Il valor medio sull'ensamble canonico di una generica osservabile  $\mathcal{O}$ :

$$\langle \mathcal{O} \rangle_T = \frac{\text{Tr}(\mathcal{O} e^{-\beta \hat{H}})}{Z} \quad ; \quad Z = \text{Tr}(e^{-\beta \hat{H}}) = \sum_n e^{-\beta E_n} \quad (2)$$

Esprimendo la traccia sulla base degli autostati del campo si può riformulare la teoria in termini di path integral; si ottiene:

$$Z(T) = \mathcal{N} \int \mathcal{D}\phi e^{-S_E[\phi]} \quad (3)$$

Con  $\mathcal{N}$  fattore di normalizzazione divergente. L'integrale è su tutte le configurazioni dello spazio Euclideo  $\vec{x}, \tau$  con  $\tau \in [0, \beta]$  ( $\hbar = 1$ ) e condizioni periodiche  $\phi(\vec{x}, \beta) = \phi(\vec{x}, 0)$ .  $S_E$  è l'azione Euclidea ottenuta dopo una rotazione di Wick  $t \rightarrow -i\tau$ :

$$S_E = \frac{1}{2} \int_0^\beta d\tau \int dx (\partial_\mu \phi \partial_\mu \phi + m^2 \phi^2) \quad (4)$$

In questo modo si può scrivere il valor medio dell'osservabile  $\mathcal{O}$  come:

$$\langle \mathcal{O} \rangle_T \equiv \int \mathcal{D}\phi \mathcal{P}[\phi] \mathcal{O}[\phi] \quad ; \quad \mathcal{P}[\phi] \equiv \frac{e^{-S_E[\phi]}}{\int \mathcal{D}\phi e^{-S_E[\phi]}} \quad (5)$$

Le medie termiche della teoria di campo quantistica in  $D$ -dimensioni si possono riscrivere quindi in termini di medie su un sistema statistico classico in  $D + 1$ -dimensioni ed essendo  $\mathcal{P}[\phi]$  definita positiva, la si può interpretare come una distribuzione di Boltzmann e si può dunque eseguire uno studio numerico del sistema statistico tramite tecniche Montecarlo. Bisogna però prima rendere finito il numero di variabili stocastiche e discretizzare il sistema.

### 2.a Discretizzazione

Si sceglie un reticolo cubico isotropo di passo reticolare  $a$  con  $N_s \times N_t$  siti; in due dimensioni il campo è adimensionale mentre la massa adimensionale si definisce come  $\hat{m} \equiv am$ , l'azione Euclidea discretizzata si scrive come

$$S_{E,L} = \frac{1}{2} \sum_n a \left[ \frac{1}{a} \hat{m}^2 \hat{\phi}(n)^2 + \sum_\mu \frac{1}{a} (\hat{\phi}(n + \hat{\mu}) - \hat{\phi}(n))^2 \right] \quad (6)$$

$$= \frac{1}{2} \sum_n \left[ (\hat{m}^2 + 4) \hat{\phi}(n)^2 - 2 \sum_\mu \hat{\phi}(n) \hat{\phi}(n + \hat{\mu}) \right] \quad (7)$$

I parametri liberi sono  $N_s, N_t$  e  $\hat{m}$ . Il limite al continuo si ottiene per  $\hat{m} \rightarrow 0$  tenendo  $N_t \hat{m} = (T/m)^{-1}$  fisso e tenendo costante anche il volume  $N_s \hat{m}$ .

### 3 Descrizione degli algoritmi

L'accoppiamento è locale a siti primi vicini, vengono quindi usati algoritmi locali, in particolare nel codice si usa un algoritmo di tipo heat-bath alternato ad un algoritmo di over-relaxation<sup>1</sup>, che non essendo ergodico non può essere usato da solo.

#### 3.a Algoritmo Heat-bath

Definendo  $f$  la somma del campo nei siti primi vicini in avanti di  $n_0$ , si trova, completando il quadrato dell'equazione (7),

$$p(\phi)d\phi \propto \exp\left(-\frac{\hat{m}^2 + 4}{2}\left(\phi - \frac{f}{\hat{m}^2 + 4}\right)^2\right)d\phi \quad (8)$$

Nell'algoritmo si sceglie un sito del reticolo  $n_0$  e si riestraie il suo valore secondo la distribuzione (8), fissando il campo negli altri siti. Si è usato un algoritmo Box-Muller per estrarre il nuovo valore del campo nel sito  $n_0$ , poichè è necessario estrarre una variabile gaussiana con varianza  $\sigma^2 \equiv 1/(\hat{m}^2 + 4)$  e media  $f/(\hat{m}^2 + 4)$ .

#### 3.b Algoritmo Over-relaxation

Si effettua una mossa che sposta il campo nel punto simmetrico rispetto al massimo della gaussiana

$$\phi(n_0) \rightarrow \phi = 2\frac{f}{\hat{m}^2 + 4} - \phi(n_0) \quad (9)$$

la mossa non cambia l'azione, quindi viene sempre accettata.

Le osservabili campionate nel codice sono:

$$O_1 = \frac{1}{N_t N_s} \sum_n \hat{m}^2 \phi(n)^2 \quad O_2 = \frac{1}{N_t N_s} \sum_n \sum_{\mu_s} (\phi(n + \mu_s) - \phi(n))^2 \quad O_3 = \frac{1}{N_t N_s} \sum_n (\phi(n + \mu_t) - \phi(n))^2$$

### 4 Termodinamica

L'energia interna

$$U = -\left(\frac{\partial \log Z(\beta, V)}{\partial \beta}\right)_V \quad (10)$$

cambiando variabile  $\partial/\partial\beta = (m/N_t)\partial/\partial\hat{m}$  ma  $\partial/\partial\hat{m} = (1/m)\partial/\partial a$  e sia  $\beta = N_t a$  che  $V = N_s a$ , dipendono da  $a$ , quello che si ottiene è qualcosa di proporzionale alla traccia del tensore energia impulso del campo

$$-\frac{1}{N_t} \frac{\partial \log Z}{\partial \hat{m}} = \frac{V}{\hat{m}} (\epsilon - p) = \frac{N_s}{\hat{m}} \langle O_1 \rangle \quad (11)$$

con  $\epsilon = U/V$  densità di energia interna e  $p = T \frac{\partial \log Z}{\partial V}$  pressione. Per ottenere separatamente  $\epsilon$  si può considerare un reticolo anisotropo;  $a_s = a$  e  $a_t = \xi a$  e porre alla fine  $\xi = 1$ , ora  $\partial/\partial\beta = (1/N_t a)\partial/\partial\xi$  e si ottiene

$$\frac{\epsilon}{T^2} = \frac{N_t^2}{2} \langle O_1 + O_2 - O_3 \rangle \quad (12)$$

#### 4.a Limite al continuo

Si è scelto un intervallo per  $N_t$  tra 2 e 13 e fissati i prodotti  $N_t \hat{m} = 0.1$  e  $N_s \hat{m} = 10$ . Nel limite al continuo l'equazione del moto è quella della corda elastica per cui il valore di riferimento per  $\epsilon/T^2$  è  $\pi/6 \simeq 0.5236$ , si osserva (Figura 1) che benchè i due risultati siano entrambi compatibili entro gli errori con il valore teorico, l'aggiunta dell'algoritmo di over-relaxation porta ad una diminuzione dell'errore relativo e per questo motivo è stato usato nelle simulazioni successive<sup>2</sup>.

<sup>1</sup>una chiamata di heat-bath ogni quattro chiamate di over-relaxation.

<sup>2</sup>l'over-relaxation permette di fare un cambio sostanziale del campo a basso costo computazionale.

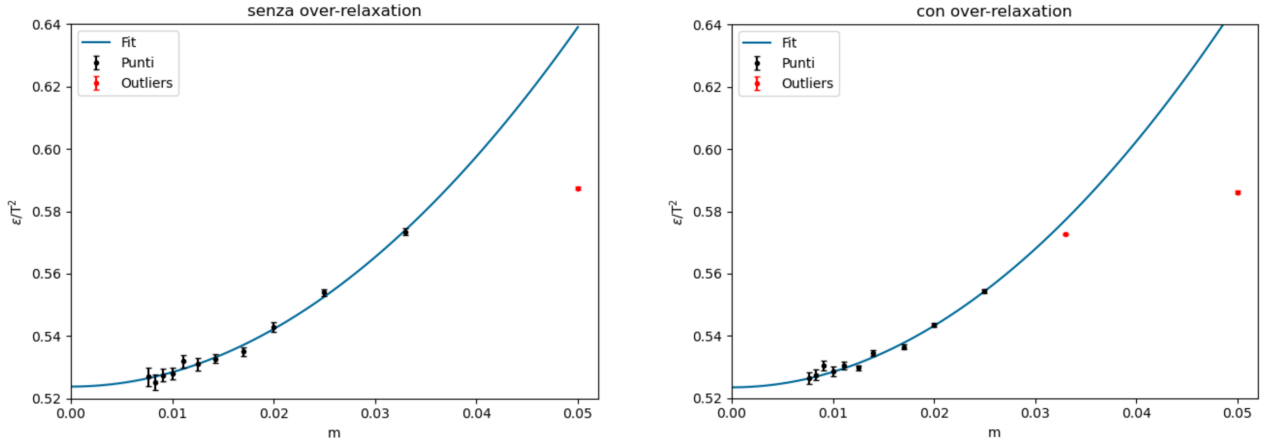


Figura 1: Funzione di fit:  $a + bx^2$

| senza over-relaxation   | con over-relaxation       |
|-------------------------|---------------------------|
| $a = 0.524 \pm 0.001$   | $a = 0.5235 \pm 0.0005$   |
| $b = 47 \pm 1$          | $b = 49 \pm 1$            |
| $\chi^2/\text{dof} = 1$ | $\chi^2/\text{dof} = 1.8$ |

#### 4.b Rinormalizzazione e confronto con il limite atteso per alta $T$

Fino a questo momento si è trascurata la costante di normalizzazione divergente davanti alla funzione di partizione. Per rinormalizzare si deve sottrarre al termine alla temperatura di interesse, lo stesso termine calcolato ad una  $T$  vicina a 0, poichè  $\epsilon/T^2$  è una quantità intensiva, la sua parte divergente non dipende dalla temperatura. Fissato  $\hat{m}$  si prende un  $\bar{N}_t$  tale che  $\bar{N}_t \hat{m} = m/T \gg 1$ .

$$\left. \frac{\epsilon}{T^2} \right|_R = \left. \frac{\epsilon}{T^2} \right|_T - \left. \frac{\epsilon}{T^2} \right|_{T=0} = \frac{N_t^2}{2} (\langle (O_1 + O_2 - O_3) \rangle_{N_t} - \langle (O_1 + O_2 - O_3) \rangle_{\bar{N}_t}) \quad (13)$$

Ci aspettiamo che, avendo sottratto l'energia di vuoto, questa quantità tenda a zero per  $T \rightarrow 0$  e a  $\pi/6$  per  $T/m \rightarrow \infty$ . In Figura 2 i risultati delle simulazioni con  $\hat{m} = 0.05$  e  $N_s = 160 = \bar{N}_t$ .

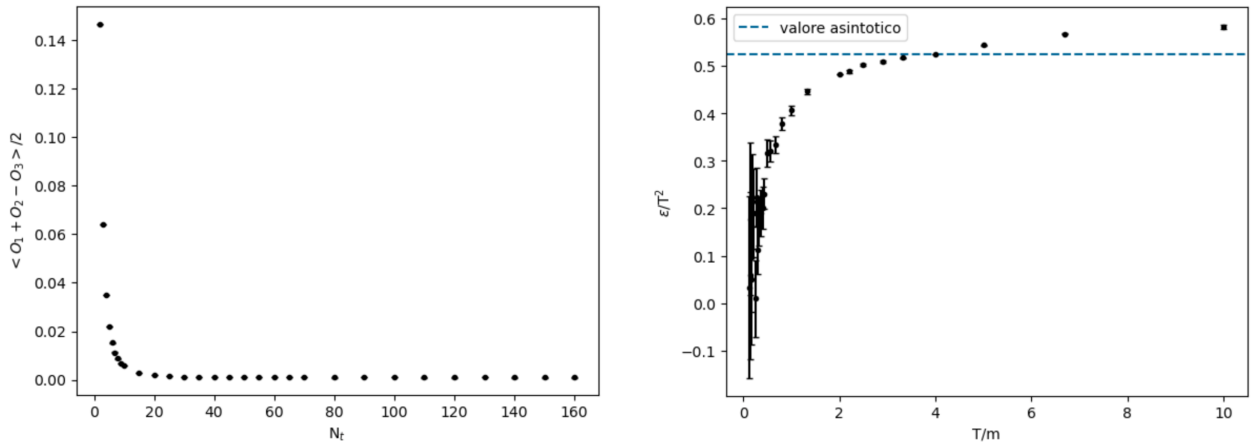


Figura 2: Si vede come il valore asintotico venga raggiunto "dall'alto" e non "dal basso" come ci aspetteremmo, questo è dovuto probabilmente a effetti di discretizzazione;  $\hat{m} \neq 0$ , e i punti più a destra sono a temperatura più alta e vicini al cut-off UV.

### 4.c Anomalia di traccia

Un metodo alternativo per studiare la termodinamica del sistema è quello di considerare l'anomalia di traccia; moltiplicando la (11) per  $N_t^2/N_s$  si ottiene

$$-\hat{m} \frac{\partial}{\partial \hat{m}} \left( \frac{N_t}{N_s} \right) \log Z = \frac{(\epsilon - p)}{T^2} = N_t^2 \langle O_1 \rangle \quad (14)$$

ora

$$\left( \frac{N_t}{N_s} \right) = \frac{1}{VT} \quad ; \quad \log Z = -\frac{F}{T} = -\frac{fV}{T} = \frac{Vp}{T} \Rightarrow \frac{N_t}{N_s} \log Z = \frac{p}{T^2} \quad (15)$$

essendo  $\hat{m} \equiv am$  con  $m$  costante si può scrivere

$$\hat{m} \frac{\partial}{\partial \hat{m}} = a \frac{\partial}{\partial a}$$

la derivata rispetto ad  $a$  comporta sia una derivata rispetto alla temperatura che una derivata rispetto al volume, tuttavia  $p/T^2$  è una quantità intensiva che non dipende quindi dal volume, perciò alla fine si può scrivere

$$T \frac{\partial}{\partial T} \left( \frac{p}{T^2} \right) = \frac{\epsilon - p}{T^2} \xrightarrow{\text{integrando}} \frac{p(T)}{T^2} - \frac{p(T_0)}{T_0^2} = \int_{T_0}^T \frac{dT'}{T'} \frac{\epsilon - p}{T'^2} \quad (16)$$

come nel metodo precedente anche in questo caso si considera la quantità rinormalizzata sottraendo i valori di vuoto,  $T_0 = 0$ , (si assume che il vuoto abbia densità di energia e pressione nulle)

$$T \frac{\partial}{\partial T} \left( \frac{p}{T^2} \right)_R = \left( \frac{\epsilon - p}{T^2} \right)_R \equiv N_t^2 (\langle O_1 \rangle_{N_t} - \langle O_1 \rangle_{\bar{N}_t}) \quad (17)$$

Nella simulazione la quantità precedente è stata calcolata in funzione della variabile adimensionale  $T/m$ ; l'integrale diventa

$$\frac{p}{T^2} = \int_0^T d\left(\frac{T'}{m}\right) (N_t \hat{m}) \left( \frac{\epsilon - p}{T'^2} \right)_R \quad (18)$$

Dopo aver effettuato numericamente l'integrale<sup>3</sup> è stata infine ricostruita l'energia interna usando la relazione

$$\left( \frac{\epsilon}{T^2} \right)_R = \left( \frac{\epsilon - p}{T^2} \right)_R + \left( \frac{p}{T^2} \right)_R \quad (19)$$

e sono stati confrontati i risultati ottenuti con i due metodi (Figura 4). Come nel caso precedente i valori dei parametri delle simulazioni sono stati fissati a:  $\hat{m} = 0.05$  e  $N_s = 160 = \bar{N}_t$ .

---

<sup>3</sup>Per il calcolo numerico dell'integrale è stata usata `InterpolatedUnivariateSpline`, i dati sono stati interpolati con polinomi di grado due e per stimare l'errore si sono effettuati ricampionamenti della curva estraendo, con un Box-Muller, per ogni punto un nuovo valore con media il valore originale e varianza l'errore del punto; come errore associato al punto della curva integrale è stata presa la deviazione standard del campione.

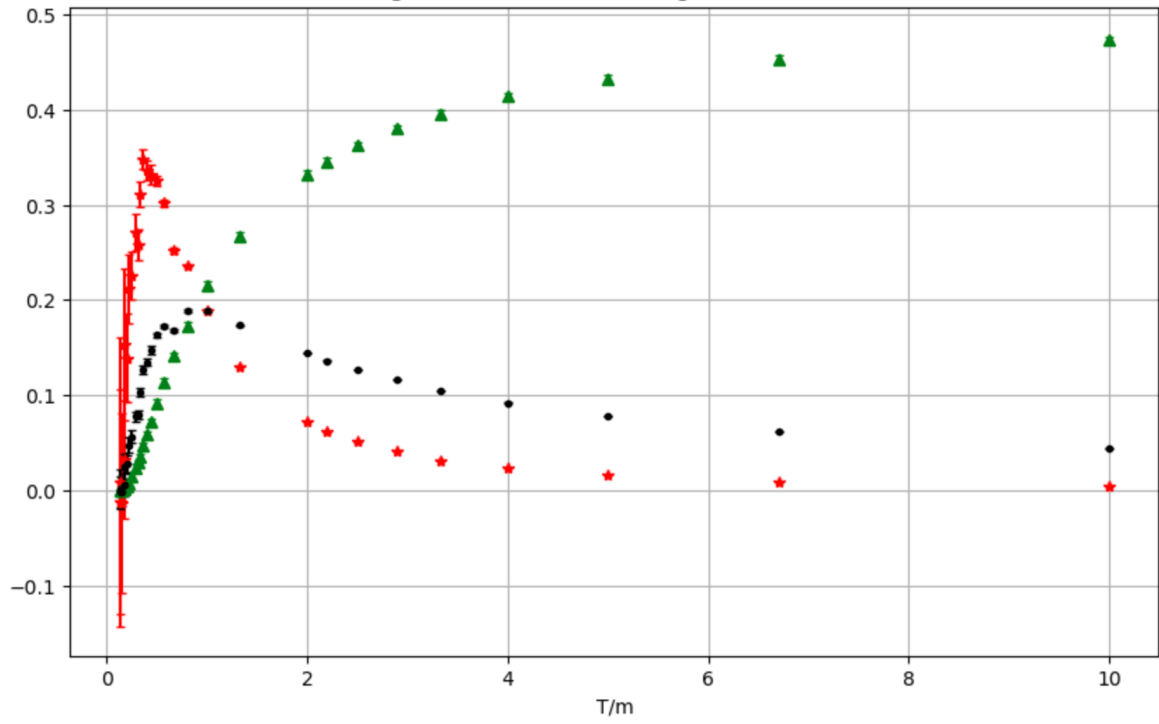


Figura 3: In rosso la funzione integranda, Eq. 18, in verde il suo integrale (la pressione) e in nero l'anomalia di traccia.

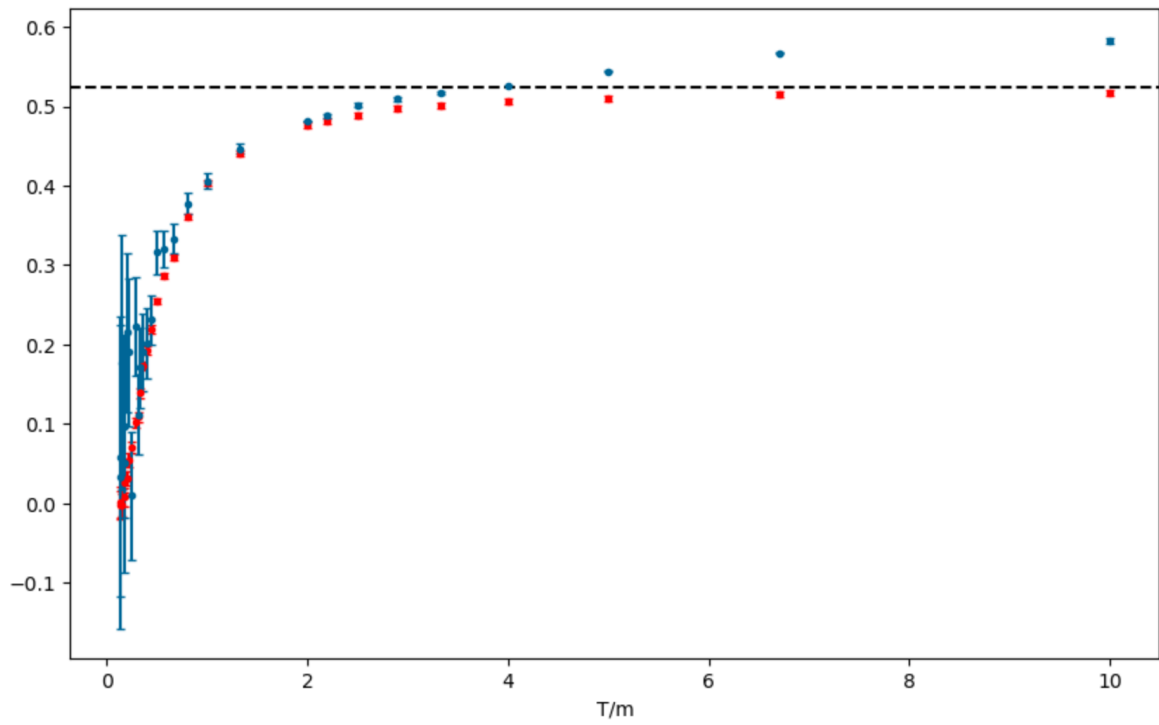


Figura 4: In blu la densità di energia ottenuta passando per il reticolo anisotropo, in rosso quella con il metodo dell'anomalia di traccia.